

E X P E R I M E N T Á L N Í U R Č E N Í K O N T A K T -
N Í C H P L O C H A N A P Ě T Í S P O J O V A C Í -
H O K L O U B U V Ā L C O A V Ě T E N V Ā L -
C O V A C Í C H S T O L I C

Ing. Antonín Fiala

Výzkumný ústav strojírenský a metalurgický VÍTKOVICE, k. p.

Ing. Pavel Macura, CSc.

Výzkumný ústav hutnictví železa, Dobré

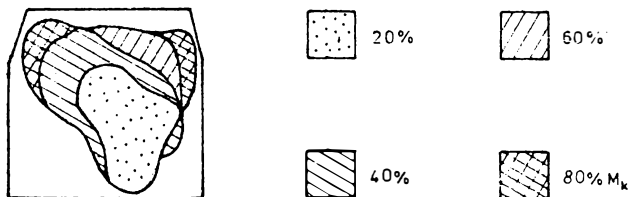
Při haváriích spojovacích kloubů vřeten a pracovních válců těžkých vratných válcovacích stolic dochází k miliónovým ztrátám nejen na havarovaných dílech, ale hlavně v důsledku výpadku výroby. Protože problematika životnosti a spolehlivosti těchto součástí je natolik závažná, přistoupilo se k experimentální analýze napěťových stavů na kovových modelech pomocí několika metod experimentální analýzy napětí. Použily se metody křehkých laků, reflexní fotoelasticimetrie, tenzometrie a pro zjištění skutečných tvarů a velikostí dosedacích ploch mezi jednotlivými součástmi se odzkoušela vlastní experimentální metoda.

Na obr. 1 je uveden náčrt modelu spojovacího kloubu, zhotoveného v měřítku 1:8 podle výkresové dokumentace kvarta 3,0, vyrobeného ve VÍTKOVICÍCH pro SSSR. Hlava vřetene 1 přenáší kroutící moment přes bronzové kamenný 3 na objímku pracovního válce 2, uchycenou v rámu 4. Na obrázku jsou rovněž vyznačena nebezpečná místa, zjištěná pomocí metod reflexní fotoelasticimetrie a křehkých laků, ve kterých byly nalepeny tenzometrické růžice. Zapojení tenzometrických snímačů a měřicích přístrojů je schematicky znázorněno na obr. 2.

Při měřeních se zjistilo, že se vztahujícím zatížením nemají naměřené hodnoty lineární průběh a i směr působení hlavních napětí se měnil, a to až o 25° . Přičinou těchto změn jsou zřejmě změny ve tvaru a velikosti dosedacích ploch mezi bronzovými kameny a protikusy. Proto byla hledána metoda, pomocí níž by bylo možno tvar a velikost dosedacích ploch určit.

Na válcovou i rovnou dosedací plochu bronzových kamenů se střídavě nalepila samolepicí hliníková fólie tloušťky 0,08 mm. Povrch fólie je po nalepení mírně zvrásněn jako

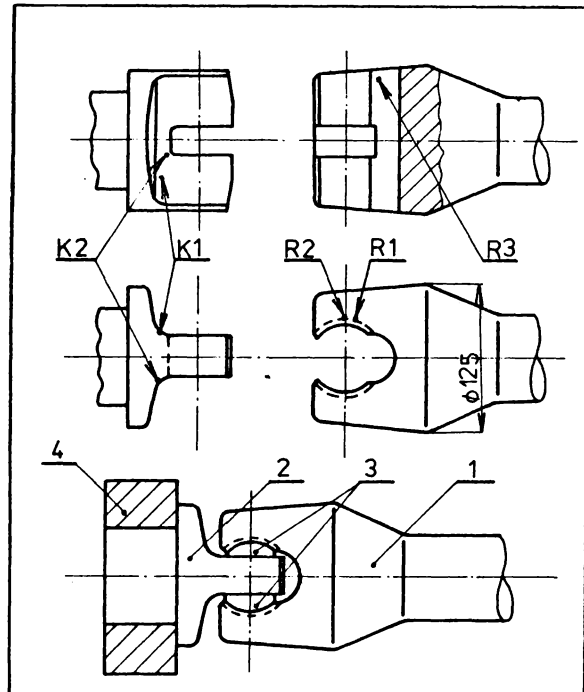
"pomerančová kůra"; v místech dosednutí s protikusem dojde k lesklému vyhlazení nalepené fólie. Na obr. 3 je ukázán zjištěný tvar a velikost dosedací plochy při vzrůstajícím krouticím momentu.



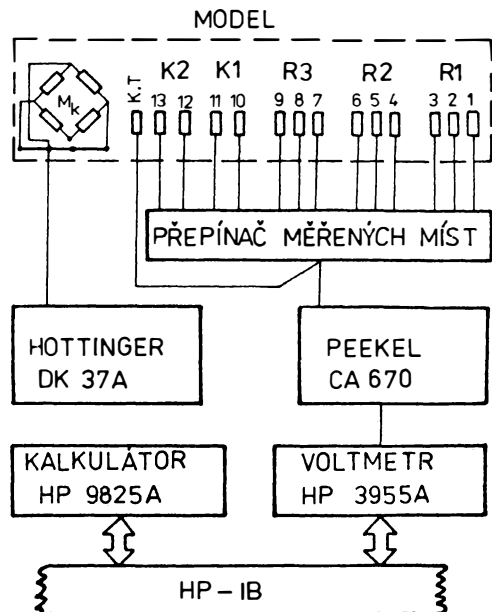
Obr. 3

V tabulce jsou uvedeny výsledky tří vybraných měření. Měření č. 1 je základní bez úprav dosedacích ploch kamenů, při měření č. 2 se fólii polepila válcová plocha kamenů, měření č. 3 se provedlo s polepem rovné dosedací plochy kamenů.

| M _k | R1 | | R2 | | R3 | | K1 | | K2 | | F1 | | |
|----------------|----------------|----------------|--------------------------------|----------------|----------------|----------------|----------------|----------------|----------------|----------------|----------------|--------------------------------|-----|
| | G ₁ | G ₂ | G ₁ -G ₂ | G ₁ | G ₂ | G ₁ -G ₂ | |
| % | MPa | MPa | MPa | MPa | MPa | MPa | MPa | MPa | MPa | MPa | MPa | MPa | |
| 20 | 64 | -16 | 80 | 41 | -46 | 80 | 10 | 93 | 0,6 | -4 | -85 | 42 | |
| 40 | 107 | -62 | 168 | 64 | -90 | 145 | 16 | 175 | 0,8 | -9 | -163 | 140 | |
| 1 | 60 | 133 | -113 | 246 | 84 | -127 | 206 | 17 | 249 | -0,3 | -11 | -237 | 238 |
| 80 | 156 | -162 | 318 | 94 | -161 | 242 | -2 | 319 | -6 | -18 | -307 | 330 | |
| 100 | 172 | -211 | 384 | 104 | -194 | 302 | 3 | 394 | -9 | -12 | -377 | 396 | |
| 20 | 42 | -17 | 59 | 47 | -44 | 67 | 1 | 78 | -5 | -13 | -95 | 24 | |
| 40 | 78 | -39 | 117 | 61 | -86 | 127 | 5 | 152 | -4 | -17 | -165 | 70 | |
| 2 | 60 | 118 | -59 | 177 | 86 | -120 | 191 | 14 | 228 | -0,4 | -23 | -242 | 167 |
| 80 | 161 | -79 | 240 | 113 | -154 | 249 | 15 | 300 | -4 | -28 | -316 | 239 | |
| 100 | 211 | -106 | 317 | 131 | -195 | 307 | 15 | 374 | -7 | -33 | -389 | 308 | |
| 20 | 48 | -69 | 117 | 48 | -61 | 69 | 4 | 78 | -7 | -4 | -77 | 95 | |
| 40 | 89 | -136 | 155 | 80 | -104 | 139 | 7 | 153 | -12 | -10 | -152 | 222 | |
| 3 | 60 | 120 | -194 | 314 | 98 | -147 | 204 | 13 | 225 | -18 | -19 | -229 | 304 |
| 80 | 149 | -251 | 400 | 114 | -189 | 266 | 11 | 300 | -24 | -27 | -304 | 366 | |
| 100 | 187 | -306 | 493 | 133 | -224 | 328 | 11 | 377 | -31 | -33 | -382 | 444 | |



Obr. 1: NÁČRT KLOUBU A MĚŘENÝCH MÍST



Obr. 2: SCHÉMA MĚŘENÍ A POUŽITÉ PŘÍSTROJE